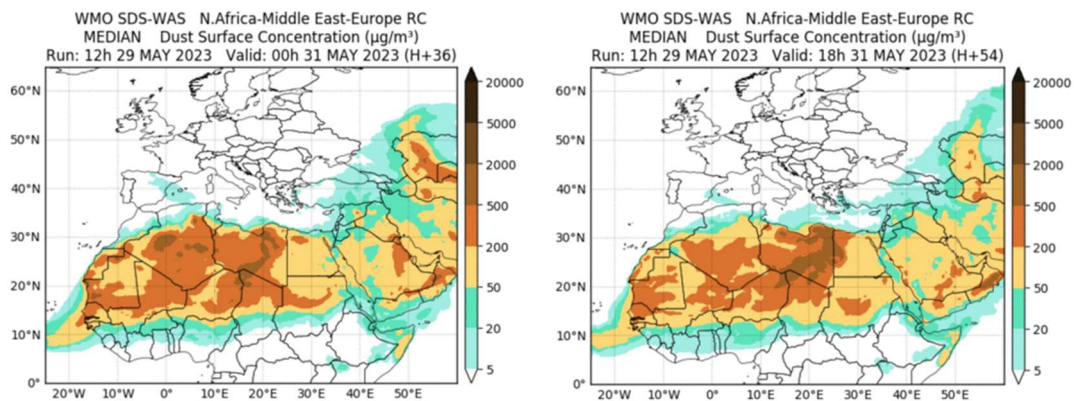


Predicción de intrusión de masas de aire africano sobre España, para el día 31 de mayo de 2023

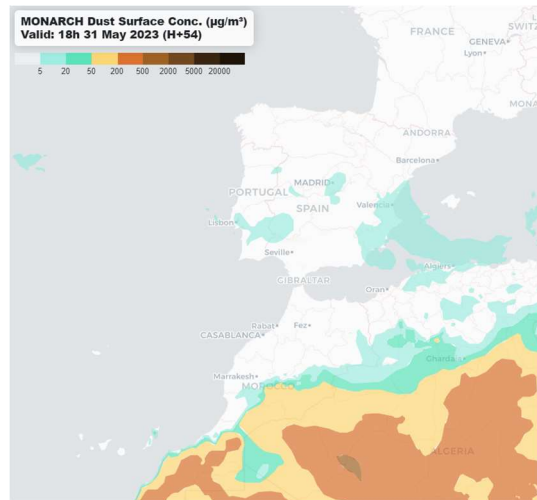
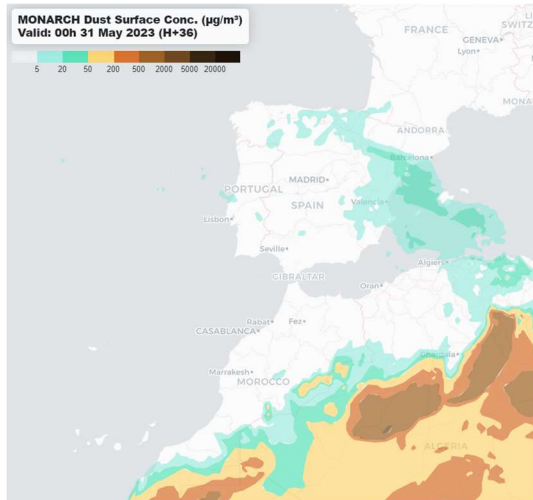
Se prevé que durante las primeras horas del día 31 de mayo aún se puedan registrar concentraciones de polvo en el rango 5-50 $\mu\text{g}/\text{m}^3$ en zonas de las islas Baleares y del NE, E y N peninsular y por debajo de los 10 $\mu\text{g}/\text{m}^3$ en zonas del SO y SE peninsular. A lo largo del día las concentraciones de polvo se reducirán previsiblemente en su totalidad o hasta valores por debajo de los 10 $\mu\text{g}/\text{m}^3$ en todas las zonas. Durante todo el día también se prevé el desarrollo de depósito húmedo de polvo en amplias zonas del NO, NE, centro y E peninsular y del archipiélago balear. Además se prevé que pueda producirse depósito seco de polvo durante gran parte del día en zonas del E y NE peninsular.

31 de mayo de 2023



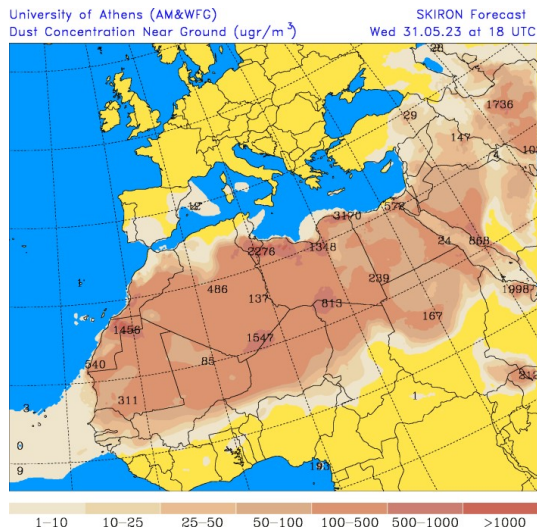
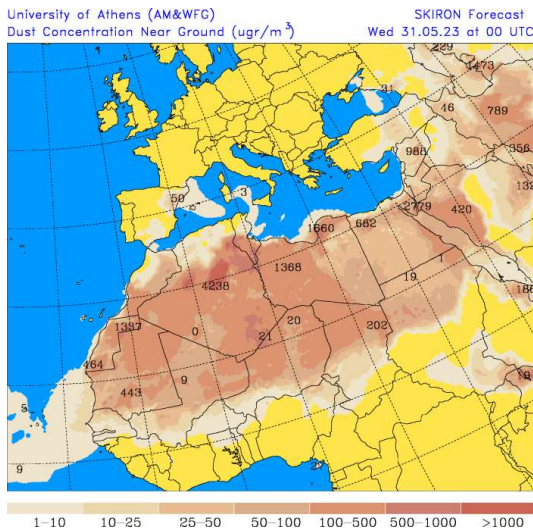
Resultados de la comparación de múltiples modelos de predicción de concentración de polvo (mediana en $\mu\text{g}/\text{m}^3$) para el día 31 de mayo de 2023 a las 00h UTC (izquierda) y a las 18h UTC (derecha). Sand and Dust Storm Warning Advisory and Assessment System Regional Center for Northern Africa, Middle East and Europe (SDS-WAS NAMEE RC; <http://sds-was.aemet.es>), gestionado conjuntamente por la Agencia Estatal de Meteorología (AEMET; <http://www.aemet.es/>) y Barcelona Supercomputing Center (BSC, <https://www.bsc.es/>).

El resultado de la intercomparación de múltiples modelos prevé concentraciones de polvo en el rango 5-20 $\mu\text{g}/\text{m}^3$ en zonas de las islas Baleares y del E, NE y N peninsular en las primeras horas del día 31 de mayo. Con el transcurso de las horas las concentraciones de polvo se reducirán totalmente en todas las zonas excepto en el área de Levante, en el que se mantendrán previsiblemente en este rango de valores.



Concentración de polvo ($\mu\text{g}/\text{m}^3$) predicha por el modelo MONARCH para el día 31 de mayo de 2023 a las 00 (izquierda) y a las 18 UTC (derecha). © Barcelona Supercomputing Center.

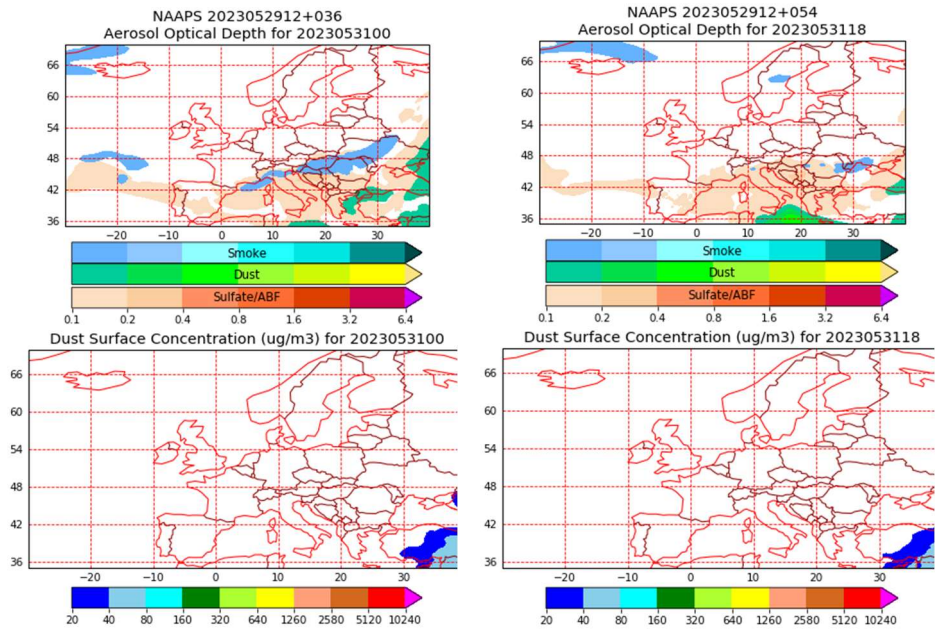
El modelo MONARCH prevé concentraciones de polvo en el rango $20\text{-}50 \mu\text{g}/\text{m}^3$ por la mañana en zonas de las islas Baleares y del NE peninsular y en el rango $5\text{-}20 \mu\text{g}/\text{m}^3$ en zonas del N y del E peninsular. Por la tarde las concentraciones serán previsiblemente inferiores a $20 \mu\text{g}/\text{m}^3$ en zonas del centro, SO, SE y E peninsular.



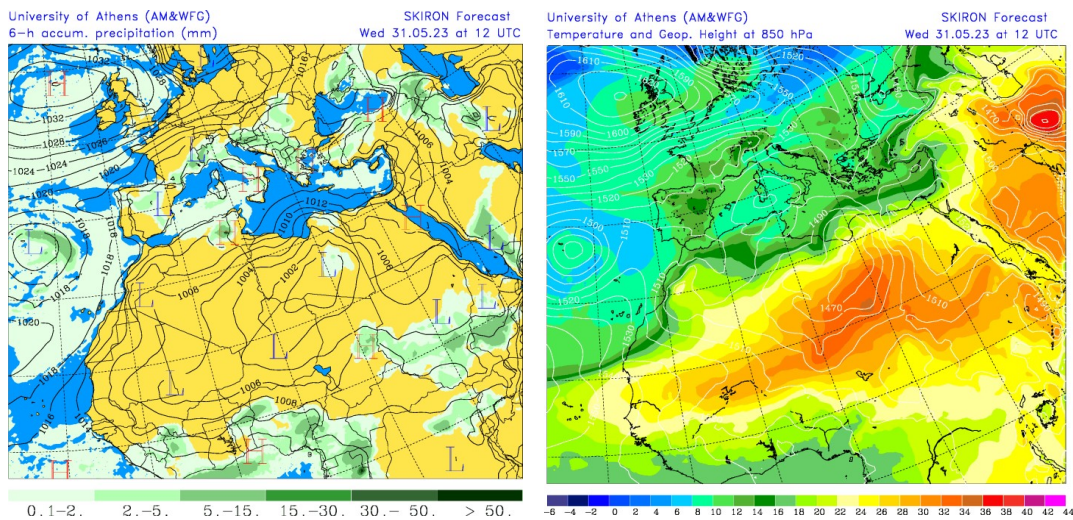
Concentración de polvo ($\mu\text{g}/\text{m}^3$) predicha por el modelo Skiron para el día 31 de mayo de 2023 a las 00 (izquierda) y a las 18 UTC (derecha). © Universidad de Atenas.

El modelo SKIRON prevé por la mañana concentraciones de polvo en el rango $25\text{-}50 \mu\text{g}/\text{m}^3$ en zonas del NE y E peninsular y por debajo $10 \mu\text{g}/\text{m}^3$ en zonas del tercio S peninsular y de las islas Baleares. Por la tarde, las concentraciones de polvo tenderán a reducirse hasta valores por debajo $10 \mu\text{g}/\text{m}^3$ en todas las zonas.

Los resultados del modelo NAAPS no prevén concentraciones de polvo por encima de $20 \mu\text{g}/\text{m}^3$ en ningún sector de la península ibérica o del archipiélago balear.

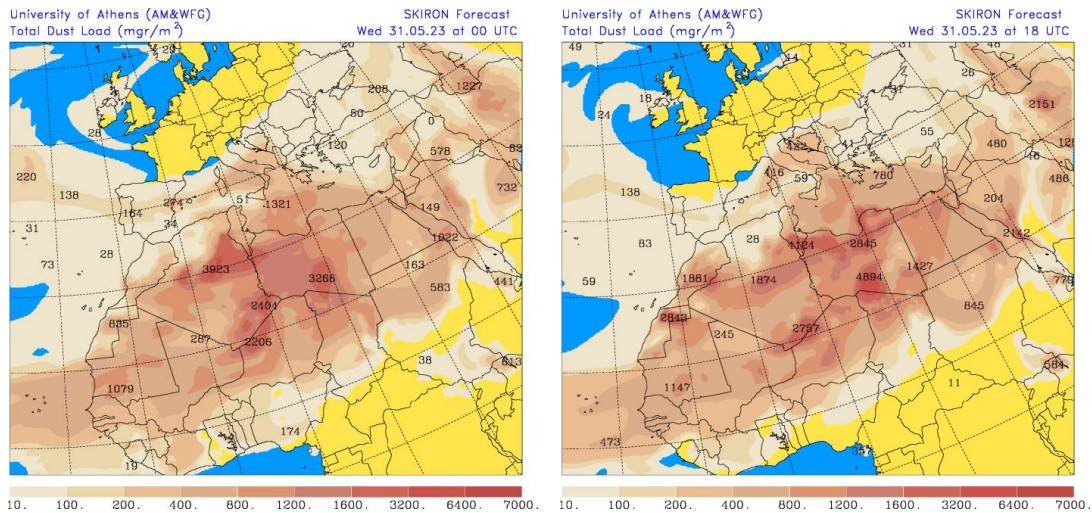


Espesor óptico de aerosoles a 550 nm (arriba) y concentración de polvo a nivel de superficie (abajo) previstos por el modelo NAAPS para el día 31 de mayo de 2023 a las 00 UTC (izquierda) y a las 18 UTC (derecha) en Europa. ©Naval Research Laboratory (NRL), Monterey, CA.



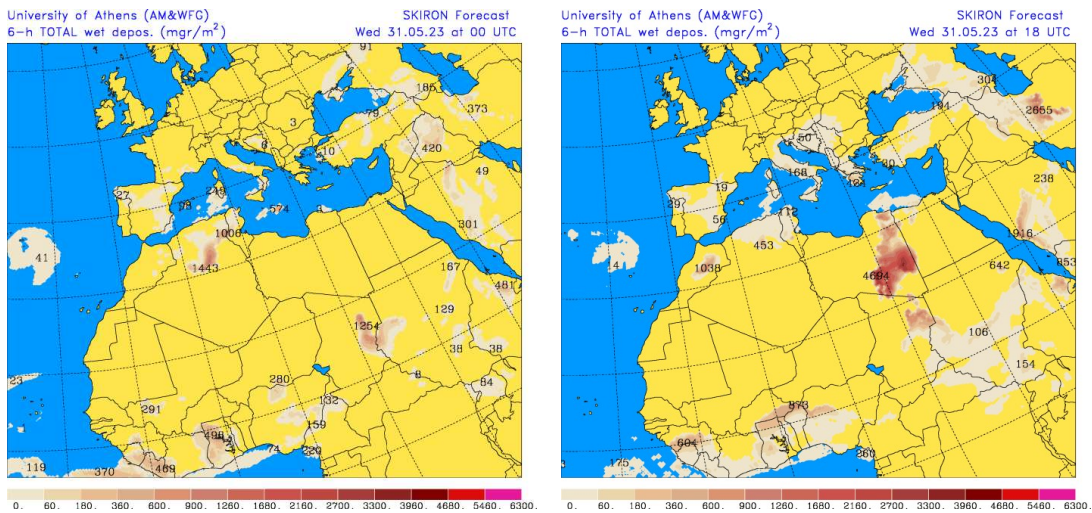
Campo de presión a nivel del mar (mb) y de precipitación (mm) (izquierda) y de temperaturas (°C) y de altura de geopotencial (m) a 850 hPa (derecha) previsto por el modelo Skiron para el día 31 de mayo de 2023 a las 12 UTC. © Universidad de Atenas.

La persistencia del centro de bajas presiones sobre el océano Atlántico al SO de la península ibérica y de las altas presiones sobre zonas del sector occidental de la cuenca mediterránea, favorecerán previsiblemente la advección de masas de aire de origen africano sobre la península y las islas Baleares.

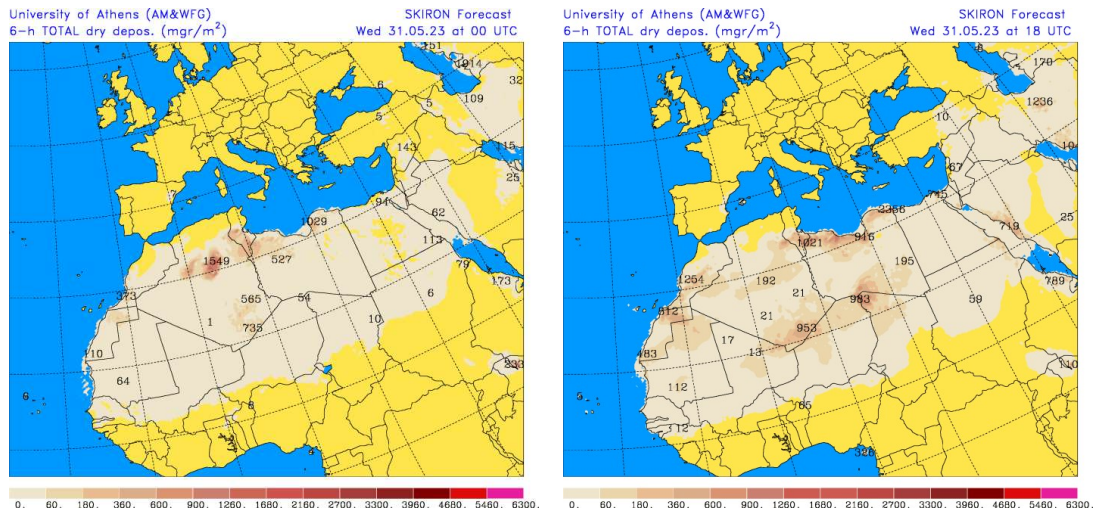


Carga total de polvo (mgr/m^2) predicha por el modelo Skiron para el día 31 de mayo de 2023 a las 00 (izquierda) y a las 18 UTC (derecha). © Universidad de Atenas.

Durante todo el día 31 de mayo se prevé el desarrollo de depósito húmedo de polvo en amplias zonas del NO, NE, centro y E peninsular y del archipiélago balear. También se prevé que se pueda producir depósito seco de polvo durante gran parte del día en zonas del E y NE peninsular.



Depósito húmedo de polvo (mg/m^2) predicho por el modelo SKIRON para el día 31 de mayo de 2023 a las 00 UTC (izquierda) y a las 12 UTC (derecha). © Universidad de Atenas.



Depósito seco de polvo (mg/m^2) predicho por el modelo SKIRON para el día 31 de mayo de 2023 a las 00 UTC (izquierda) y a las 18 UTC (derecha). © Universidad de Atenas.

Fecha de elaboración de la predicción: 30 de mayo de 2023

Predicción elaborada por Pedro Salvador (CIEMAT)

Los datos son propiedad de la Dirección General de Calidad y Evaluación Ambiental, del Ministerio para la Transición Ecológica y el Reto Demográfico, y han sido obtenidos y se suministran en el marco del “Encargo del Ministerio para la Transición Ecológica a la Agencia Estatal Consejo Superior de Investigaciones Científicas para la detección de episodios naturales de aportes transfronterizos de partículas y otras fuentes de contaminación de material particulado, y de formación de ozono troposférico”.